

Abbildung 2.1: Stoffeintrag durch Nassdeposition im Jahr 2000

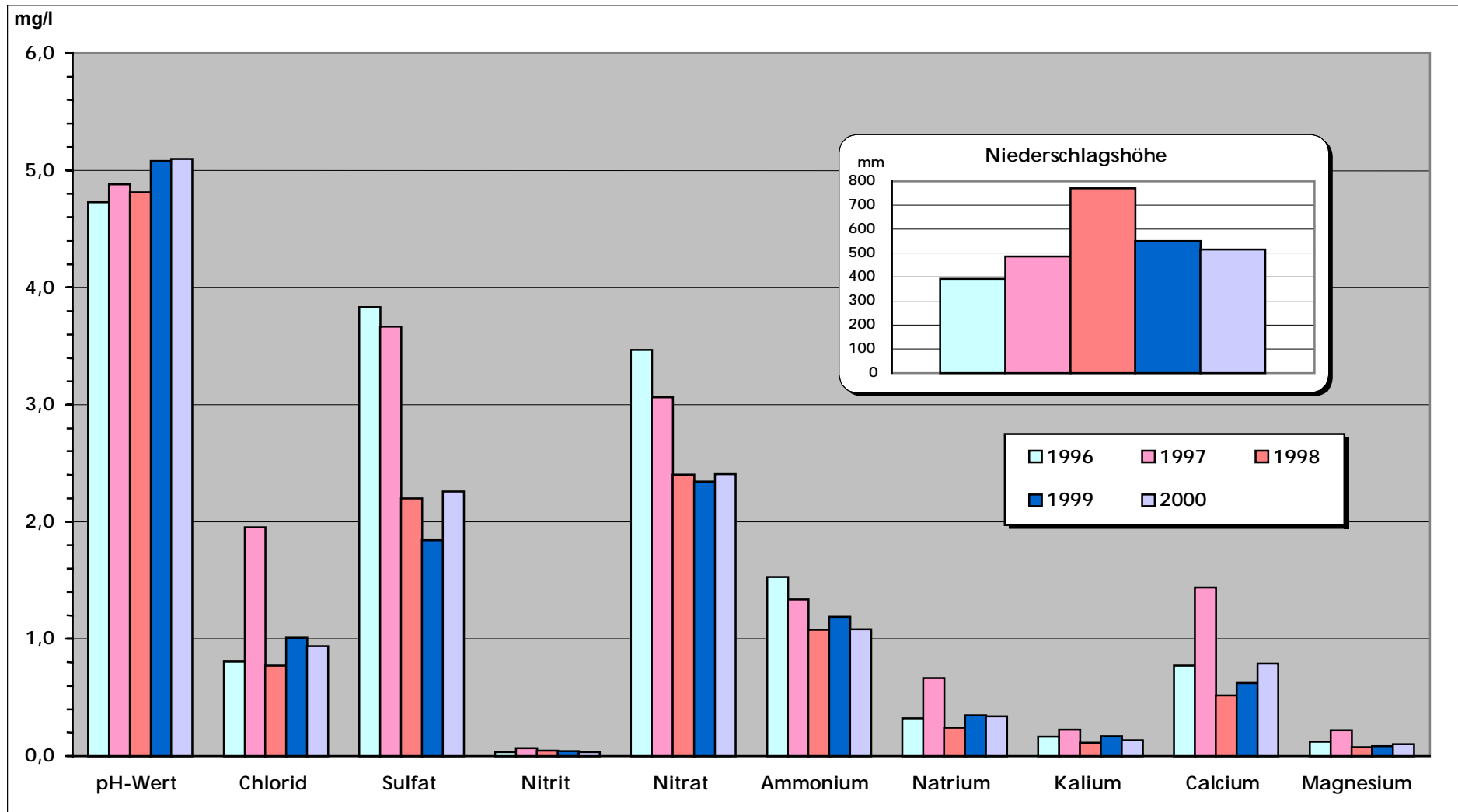


Abbildung 2.2: Ionenkonzentration in der Nassdeposition an der Station Halle - Dörlau

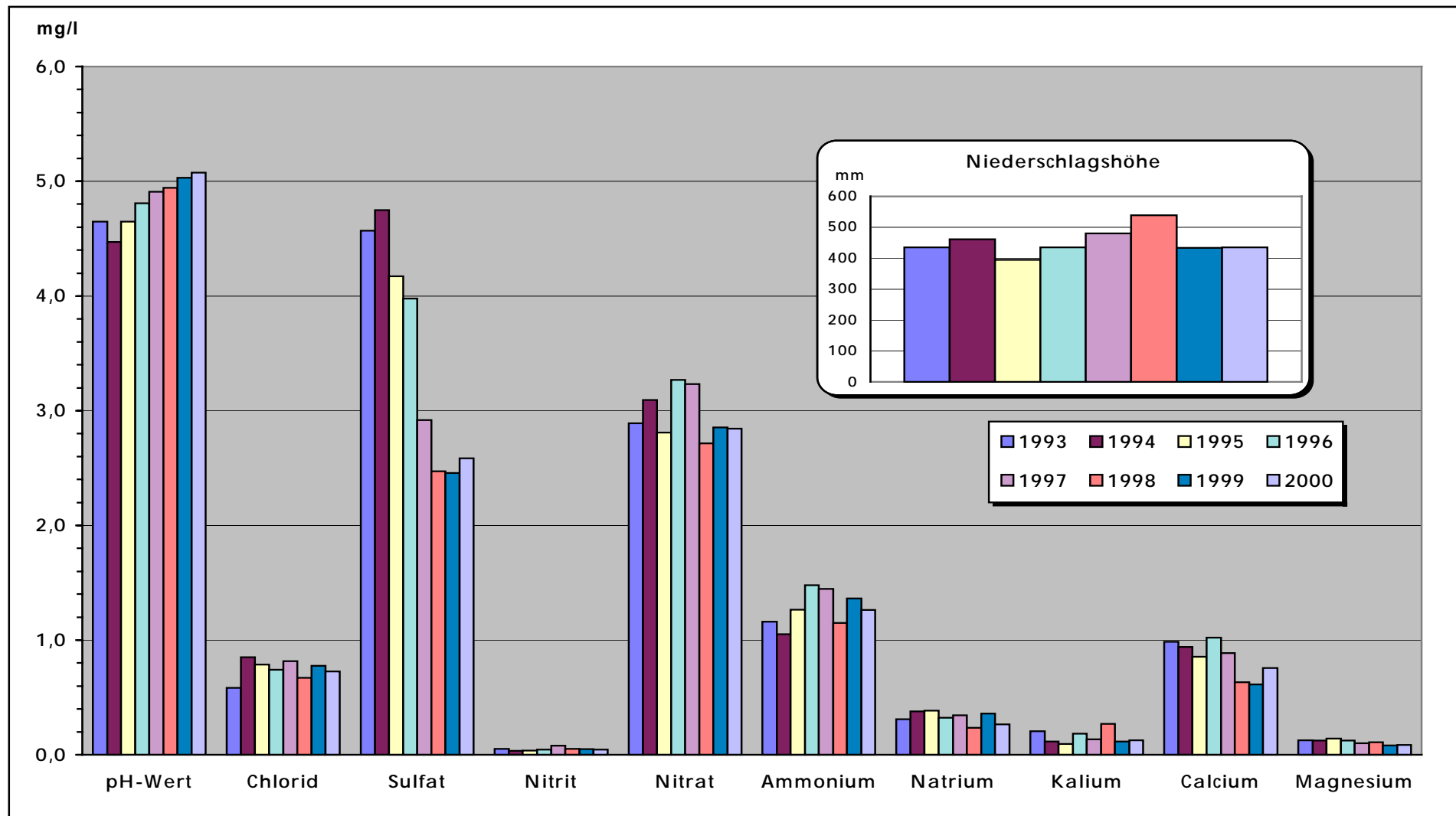


Abbildung 2.3: Ionenkonzentration in der Nassdeposition an der Station Weißenfels

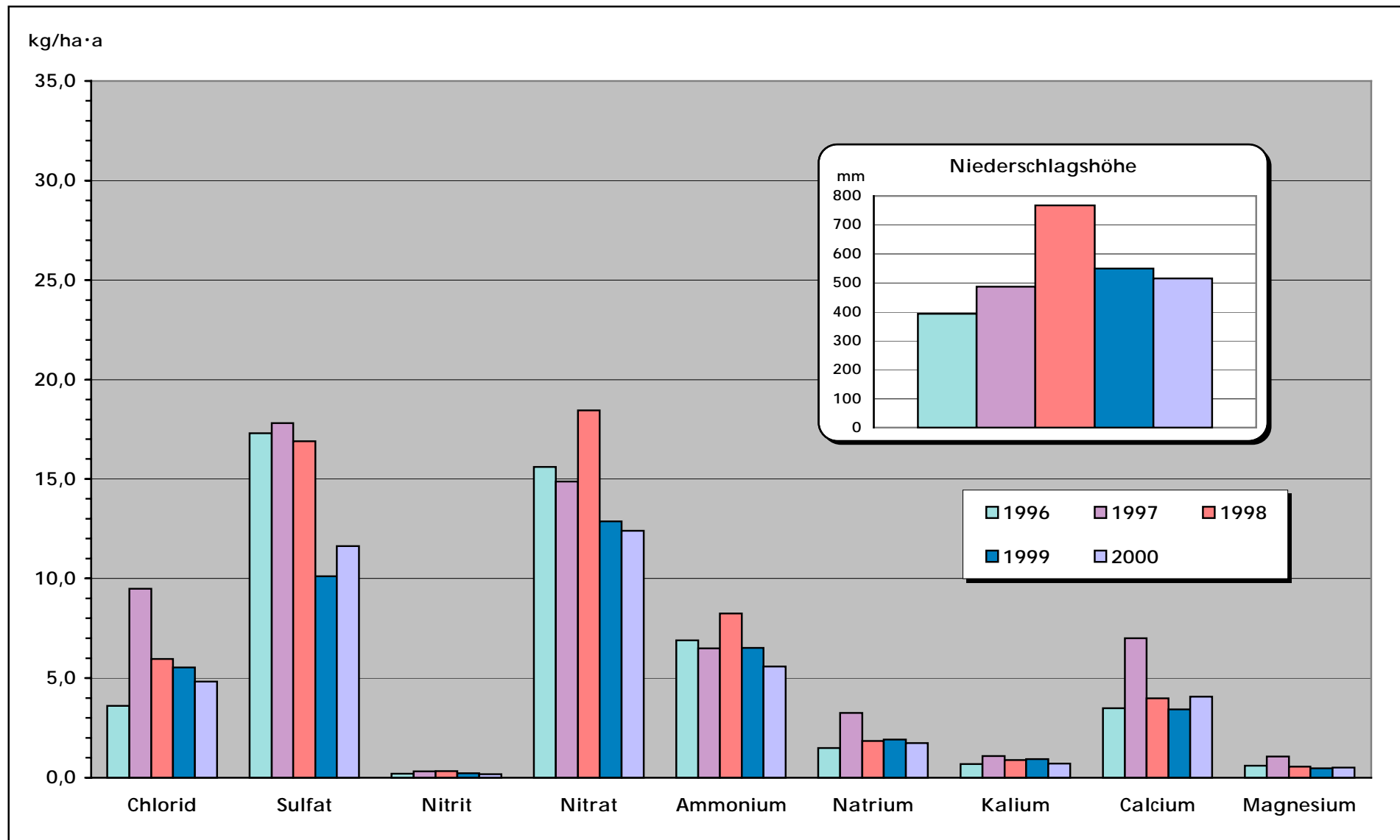


Abbildung 2.4: Stoffeintrag durch Nassdeposition an der Station Halle - Dörlau

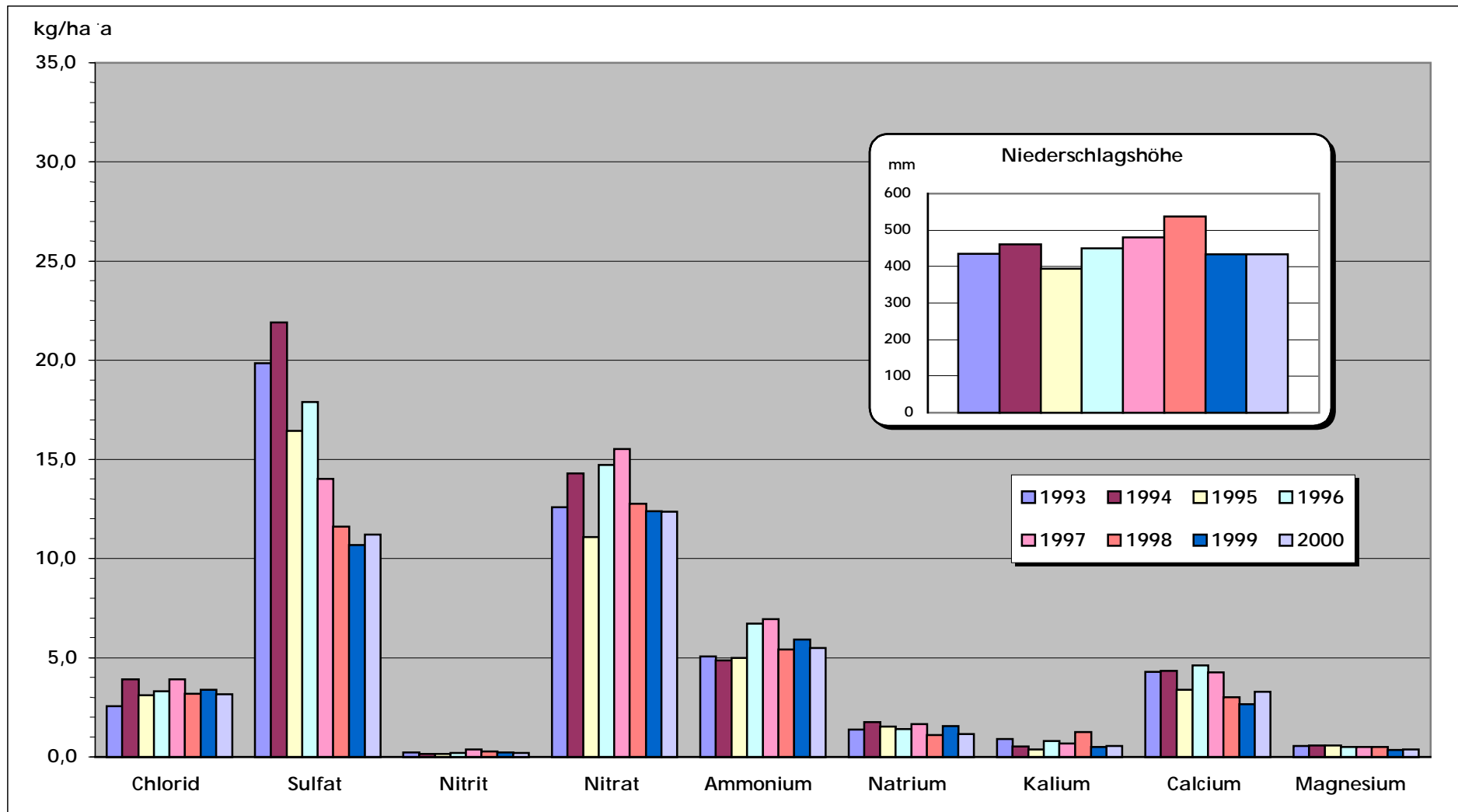


Abbildung 2.5: Stoffeintrag durch Nasseposition an der Station Weißenfels

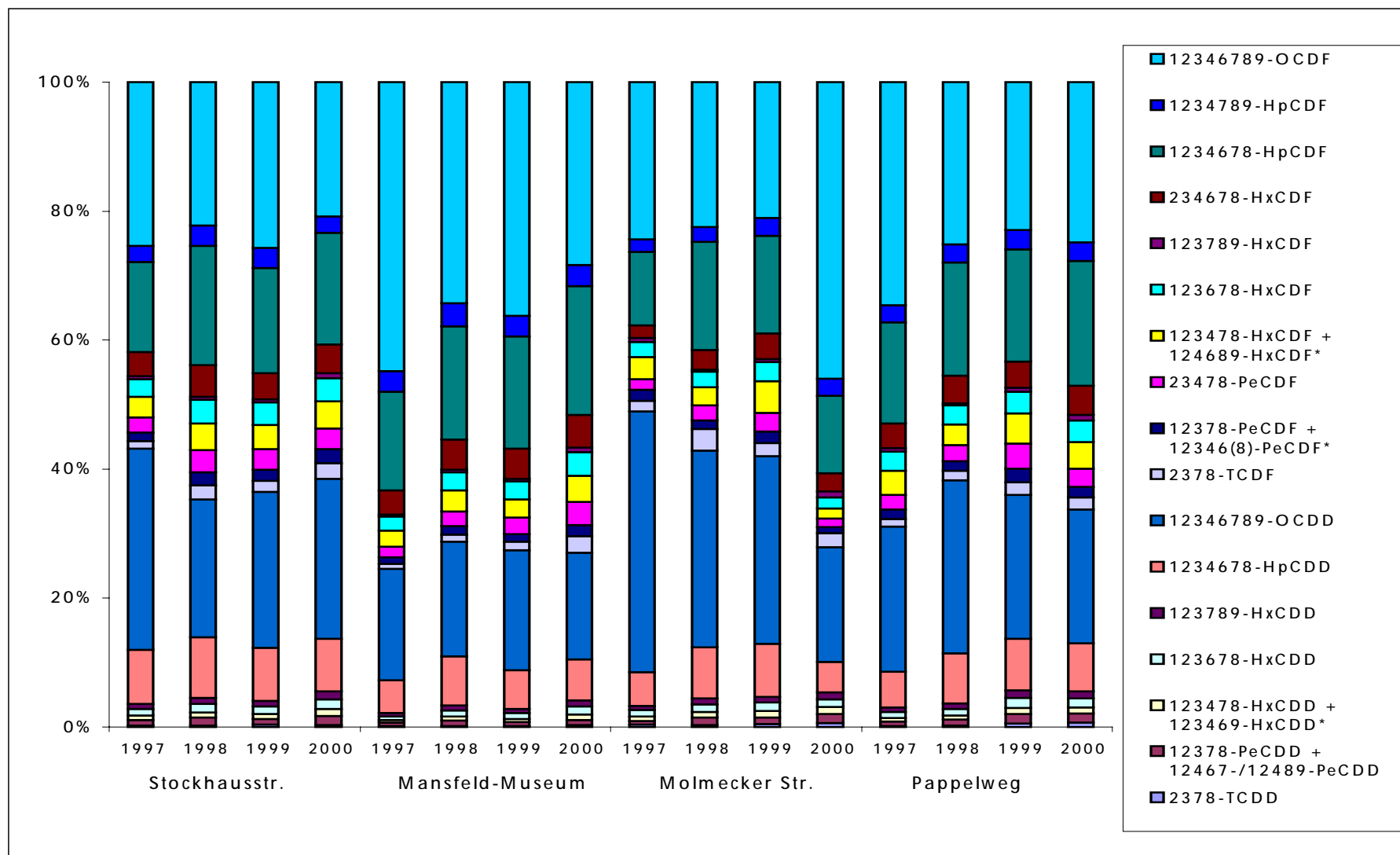


Abbildung 2.6: Kongenerenverteilung der PCDD/F - Depositionen der Jahresmittel in Hettstedt

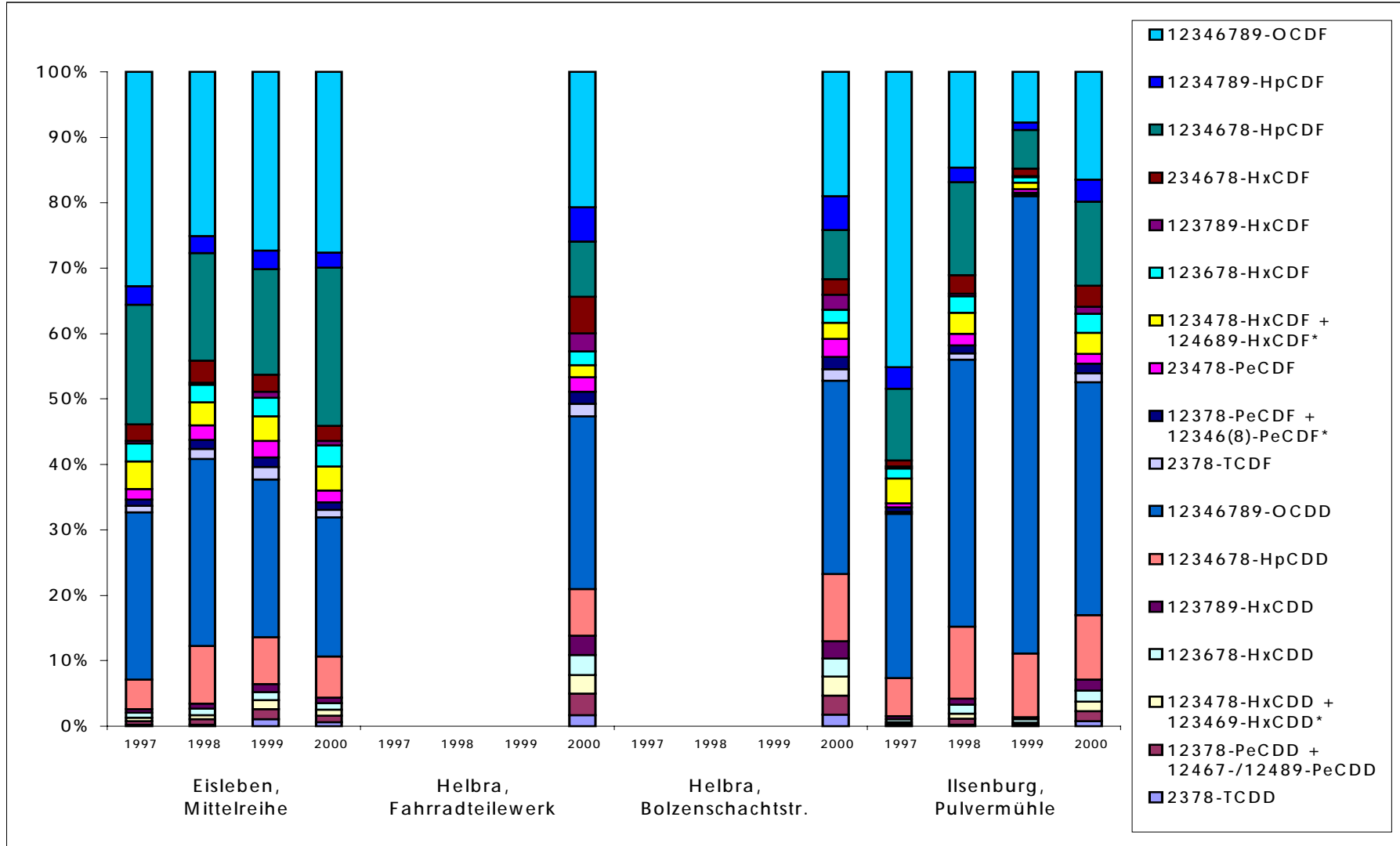


Abbildung 2.7: Kongenerenverteilung der PCDD/F – Depositionen der Jahresmittel

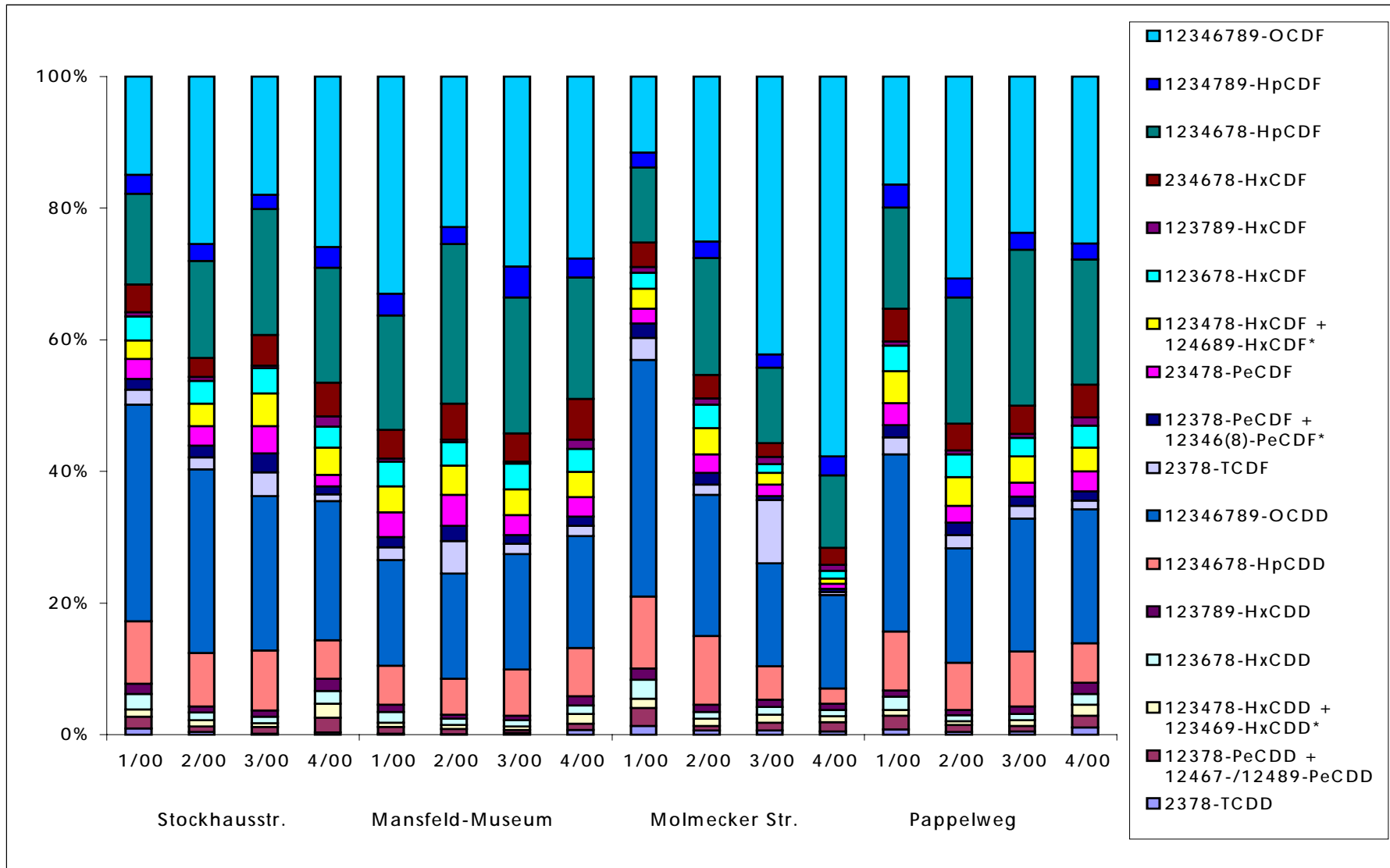


Abbildung 2.8: Kongenerenverteilung der PCDD/F - Depositionen in den Quartalsproben 2000 in Hettstedt



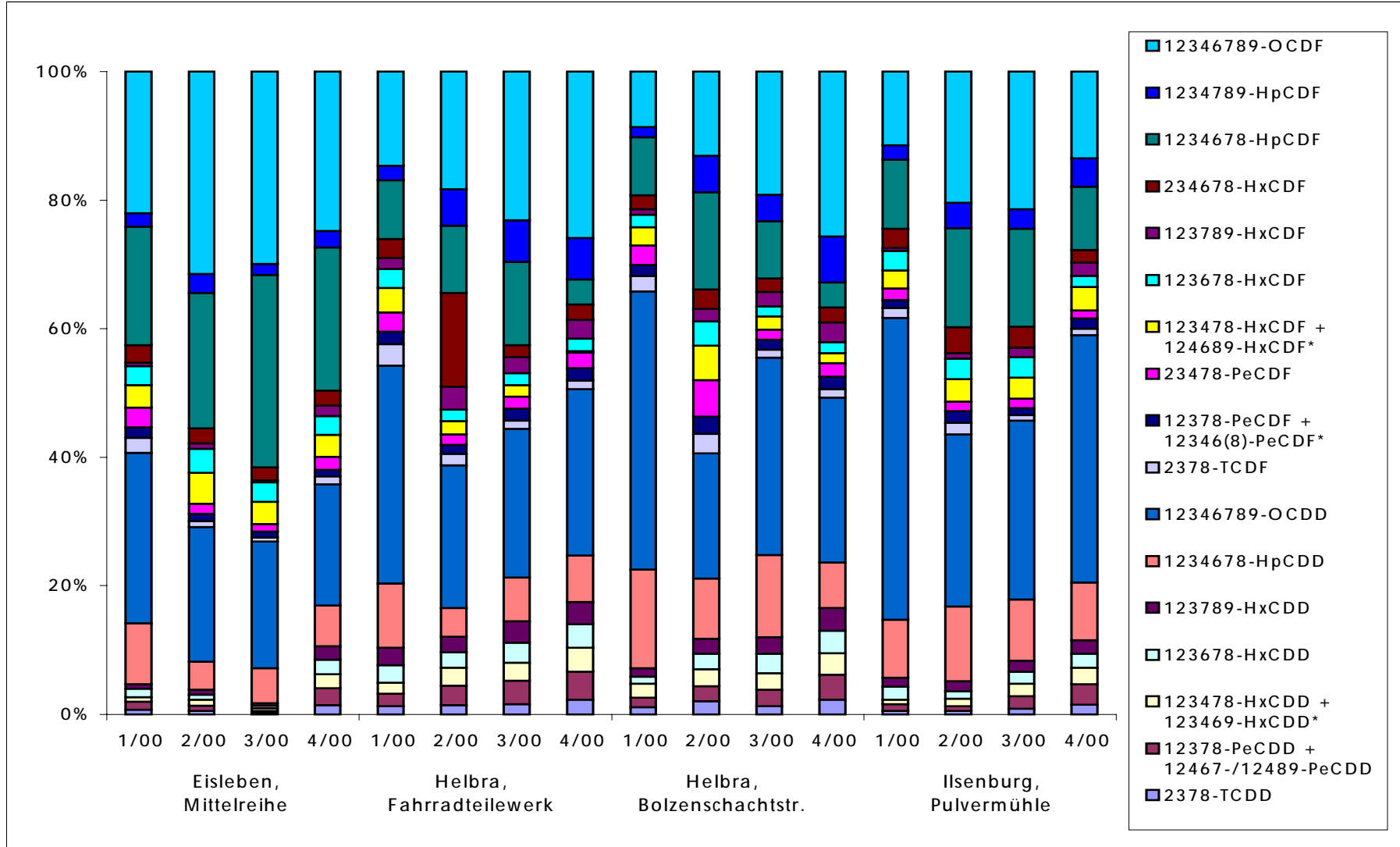


Abbildung 2.9: Kongenerenverteilung der PCDD/F - Depositionen in den Quartalsproben 2000

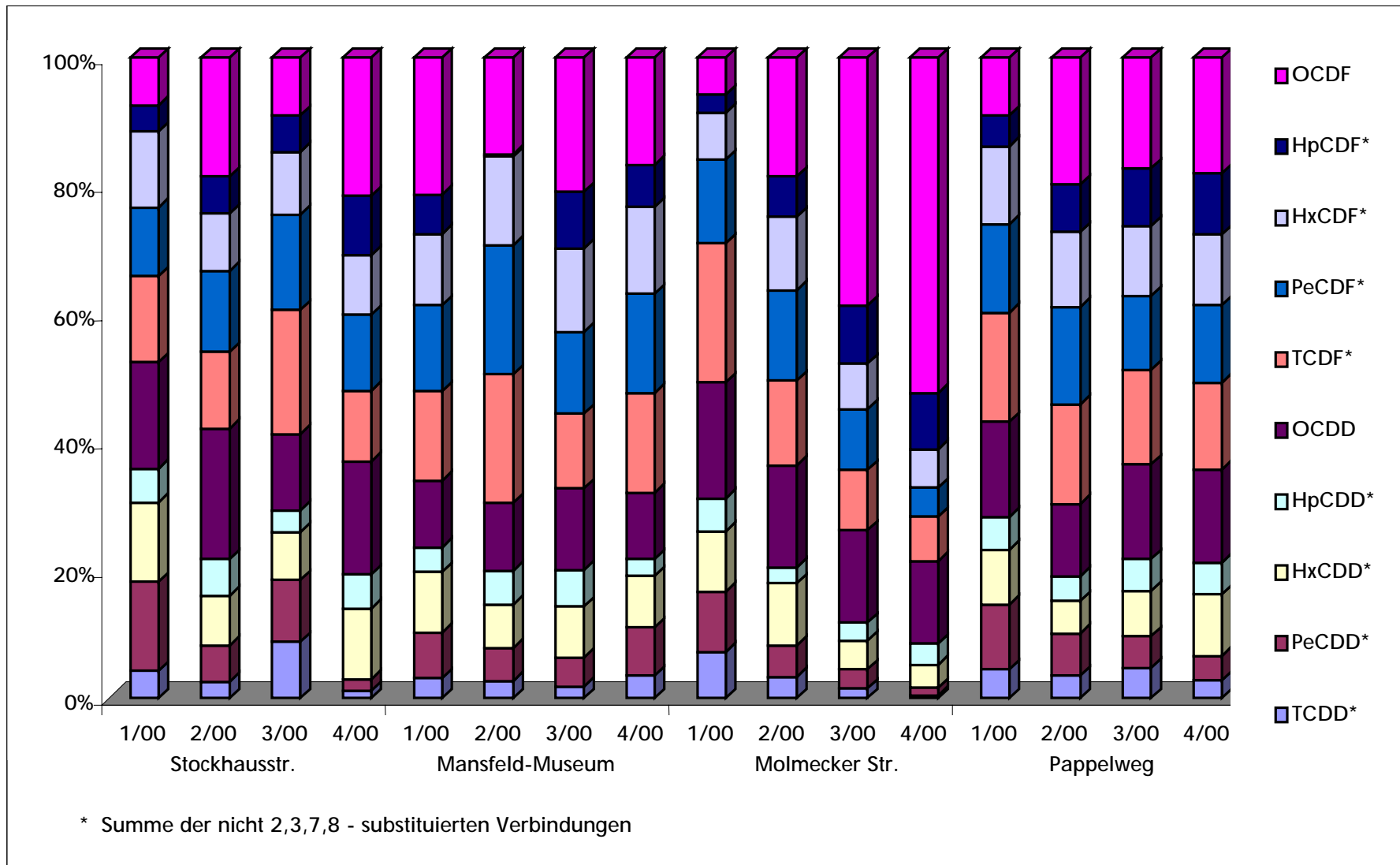


Abbildung 2.10: Homologenverteilung der PCDD/F – Depositionen in den Quartalsproben 2000 in Hettstedt

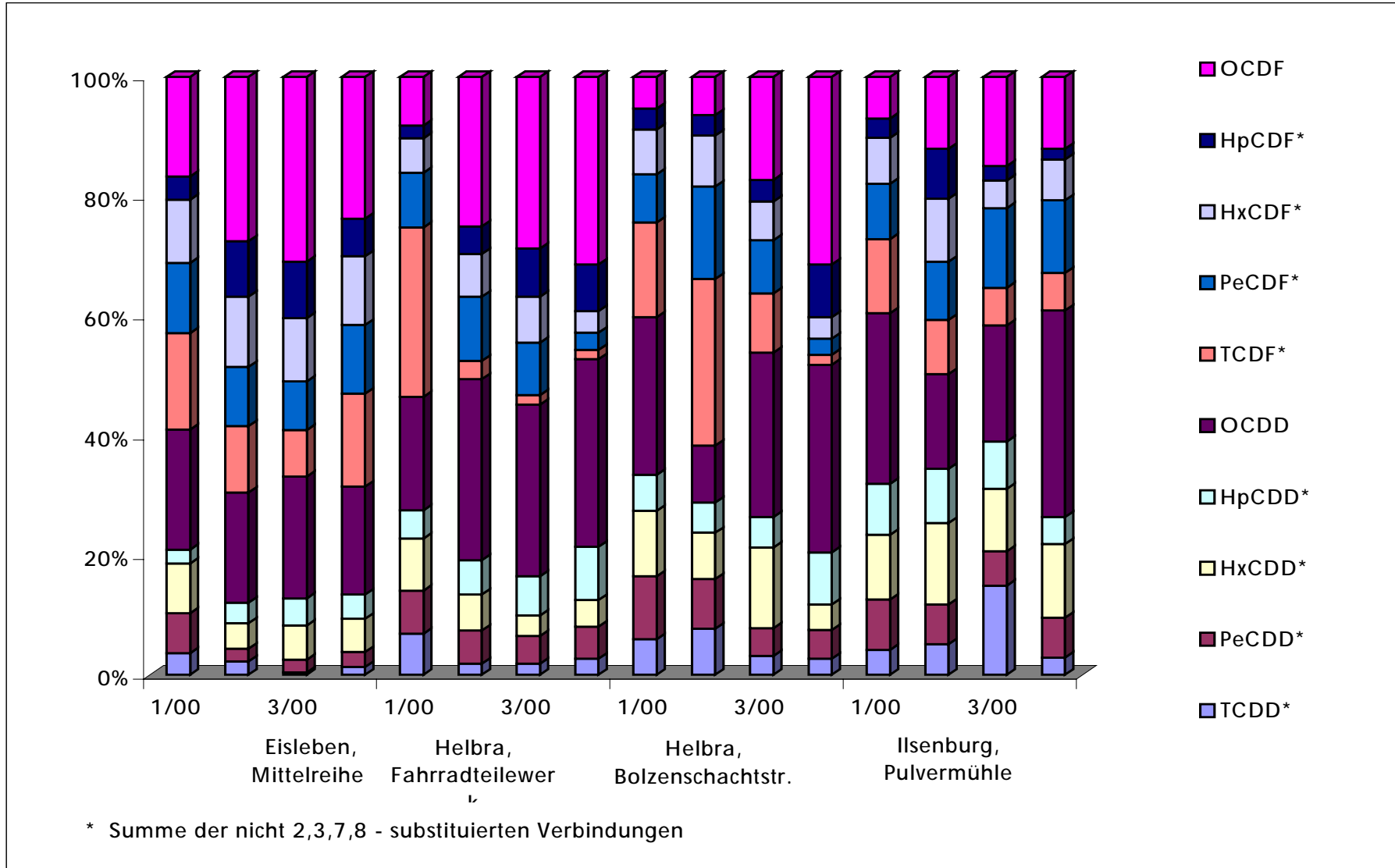


Abbildung 2.11: Homologenverteilung der PCDD/F – Depositionen in den Quartalsproben 2000

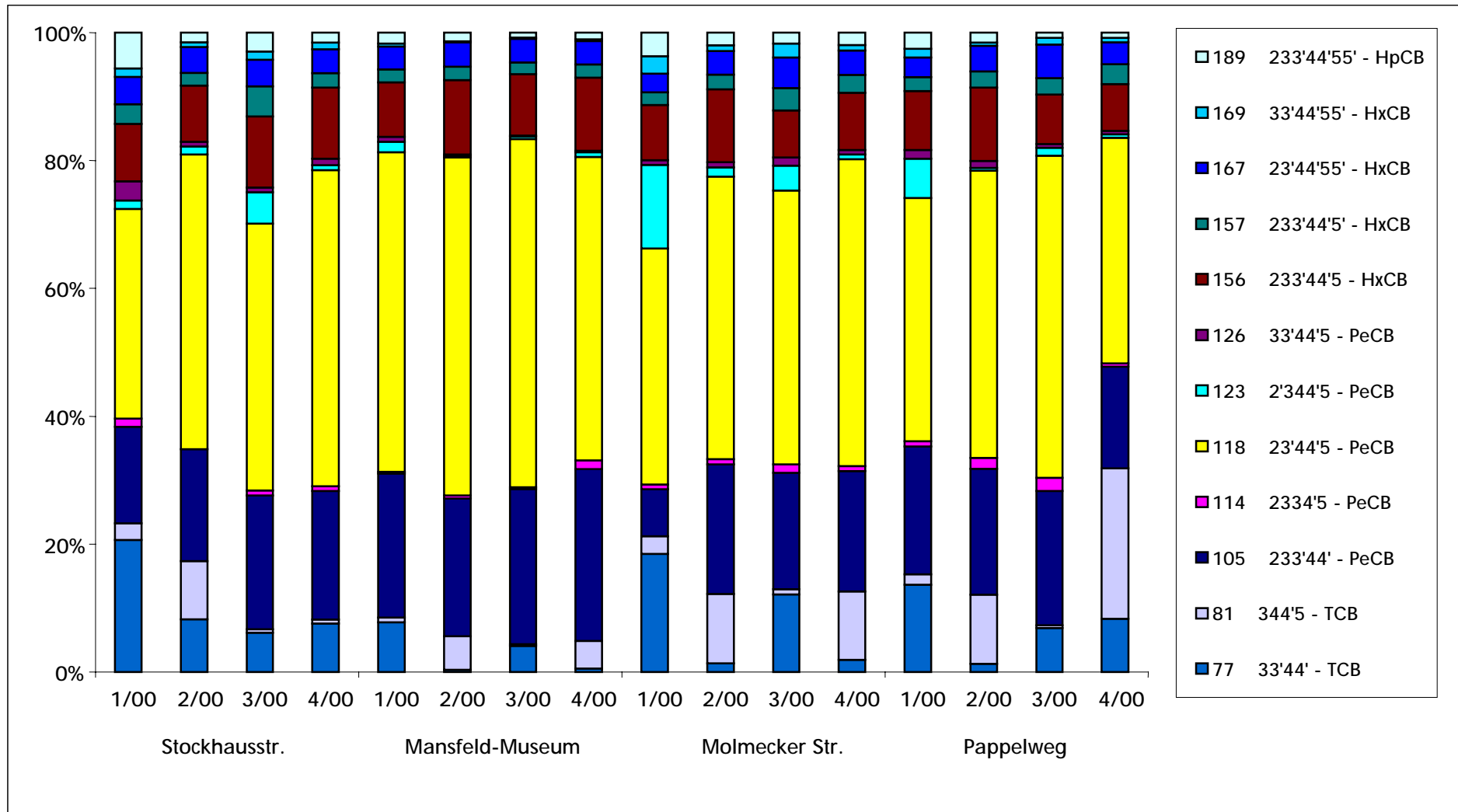


Abbildung 2.12: Kongenerenverteilung der dioxinähnlichen PCB in ng/Probe in den Quartalsproben 2000 in Hettstedt

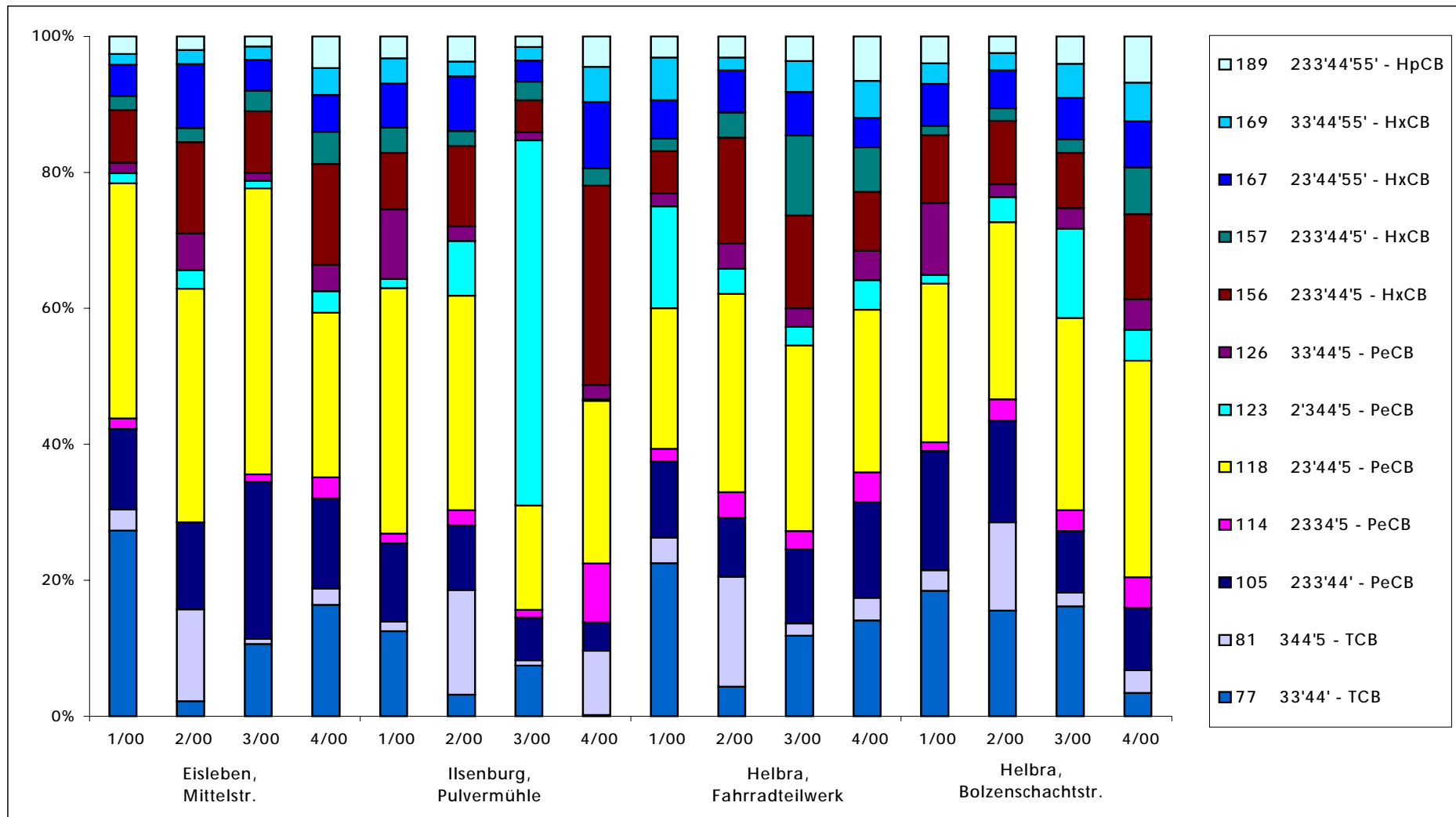


Abbildung 2.13: Kongenerenverteilung der dioxinähnlichen PCB in ng/Probe in den Quartalsproben 2000